

همنهشت، ساختار بلوری و آنالیز سطح هیرشفلد نمک اسیدی [۴-متیل فنیل آمونیوم] [O-فنیل)(هیدروکسیل)فسفات، [O-(C₆H₅O)P(O)(O)(OH)][4-CH₃-C₆H₄NH₃]⁺

فاطمه کریمی احمدآباد^۱، مهرداد پورایوبی^{۱*}، مارک نکاس^{۲۳}

۱- گروه شیمی، دانشکده علوم، دانشگاه فردوسی مشهد

2- CEITEC – Central European Institute of Technology, Masaryk University, Kamenice 5, Brno, CZ-62500 Czech Republic,

3- Department of Chemistry, Faculty of Science, Masaryk University, Kotlarska 2, Brno, CZ-61137, Czech Republic

(دریافت مقاله: ۹۵/۶/۸، نسخه نهایی: ۹۵/۳/۲)

چکیده: همنهشت (سنتر) و آنالیز با پراش پرتو X نمک اسیدی [۴-متیل فنیل آمونیوم] [O-فنیل)(هیدروکسیل)فسفات]، $P2_1/c$ گزارش شده‌اند. این ترکیب در سیستم بلوری تکمیل، گروه فضایی $a = ۹,۵۱۴۷(۴)\text{ \AA}$ ، $b = ۲۲,۲۱۵۸(۱۰)\text{ \AA}$ ، $c = ۱۳,۲۷۴۰(۶)\text{ \AA}$ و $\beta = ۱۱۱,۲۴۴(۴)^{\circ}$ است. در ساختار بلوری، اجزای مجاور به صورت پیوندهای هیدروژنی O...O و N-H...O و O-H...O دو آنیون در واحد بی تقارن تبلور یافته است. در ساختار بلوری، اجزای مجاور به صورت پیوندهای هیدروژنی O...O و N-H...O و O-H...O (نواحی سرخ در سطح هیرشفلد) برهم‌کنش‌های شاخص بوده و در نمودارهای رد انگشتی دو آنیون مستقل، دو شاخص شاخص به برهم‌کنش (O...H(N)...O) و نیز در نمودار مربوط به دو کاتیون مستقل، تک شاخص شاخص به برهم‌کنش (O...H(N)...O) تخصیص داده شد.

واژه‌های کلیدی: نمک اسیدی / ۴-متیل فنیل آمونیوم // (O-فنیل)(هیدروکسیل)فسفات /؛ آنالیز پراش پرتو X؛ پیوند هیدروژنی؛ آنالیز سطح هیرشفلد.

استرهای فسفر دسته‌ای از ترکیبات معدنی فسفر دارند که به میزان زیادی در محیط‌های زیستی یافت می‌شوند [۸، ۹]. برخی از ترکیبات این خانواده به دلیل کاربردهای زیستی و صنعتی مورد توجه قرار گرفته‌اند. به عنوان مثال ترکیبات استری فسفر حاصل از واکنش‌های سنتری به عنوان ترکیبات ضد آتش، افودنی‌های نفت خام، افودنی‌های غذایی، علف-کشها و مواد دارویی به کار برده شده‌اند [۱۰-۱۴]. سطوح هیرشفلد و نمودار اثر انگشتی از روش‌های آنالیز تصویری برای بررسی برهم‌کنش‌های بین مولکولی و درک و تعامل بین مولکولی هستند [۱۵]. در سال‌های اخیر این روش در بررسی برهم‌کنش‌های موجود در ساختارهای بلوری استفاده شده است [۱۶-۱۸]. در همین راستا در این مقاله ترکیب

مقدمه

مشتقهای ترکیبات فسفات دارای ساختمان کلی $XYP(O)(O^-)X$ هستند که در آن ...R², OH, OR, OAr, NR¹R² هستند. این ترکیبات هم الکترون با یون PO_4^{3-} (یون فسفات) هستند. ترکیبات فسفات لیگاند‌های اکسیژن دهنده خوبی هستند و از اهمیت ویژه‌ای در زمینه شیمی همارابی، شیمی ابر مولکول، علم مهندسی بلور و بررسی برهم‌کنش‌های بین مولکولی برخوردارند [۲، ۱]. روی این ترکیبات و ساختار بلوری آنها پژوهش‌هایی در سال‌های اخیر انجام گرفته است [۳-۵] (که به ترکیباتی مانند دی اکسوفسفات $[C_4H_9NH_3][F_3C_2ONH)(C_4H_9NH)PO_2]$ [۴] و دی کلروفسفات $(C_{10}H_{20}NH_2)PO_2Cl_2$ [۷] اشاره می‌شود).

یک قطعه نشان داد. شکل ۱ ساختار شیمیایی ترکیب را نمایش می‌دهد، (نقطه‌ی ذوب: 143°C).

بحث و نتیجه گیری

بررسی داده‌های بلورنگاری

[۴-متیل فنیل آمونیوم][O-فنیل](هیدروکسیل)فسفات] در سیستم بلوری تکمیل، گروه فضایی $c/P2_1/c$ (4 \AA) ($a = ۹,۵۱۴۷$) و $b = ۲۳,۲۷۴۰$ (۶) \AA ، $c = ۱۳,۲۷۴۰$ (۶) \AA ، $\beta = ۱۱۱,۲۴۴$ (۴) و با چهار جزء، مستقل شامل دو کاتیون و دو آنیون در سلول واحد بلور یافته است. شمای این ترکیب در شکل ۱ و ساختار آن در شکل ۲ نشان داده شده است و داده‌های بلوری، برخی از طول و زوایای پیوندی و پیوندهای هیدروژنی به ترکیب در جدول‌های ۱ تا ۳ آورده شده‌اند.

واحد بی تقارن این ترکیب شامل دو کاتیون و دو آنیون است. طول پیوند فسفر-اکسیژن در قطعه‌ی $[\text{P}(\text{O})(\text{O})]^-$ در این دو آنیون، به ترتیب برای $(6)-\text{O}(6)$ $\text{P}(1)$ برابر با $۱,۴۹۹۹$ (۱۰) \AA ، $(7)-\text{O}(7)$ $\text{P}(1)$ برابر با $۱,۴۹۴۰$ (۱۰) \AA و $(3)-\text{O}(3)$ $\text{P}(2)$ - $\text{O}(2)$ $\text{P}(2)$ برابر با $۱,۴۹۸۸$ (۱۰) \AA است که به دلیل تشدید، از طول پیوند $\text{P}=\text{O}$ $۱,۴۸۹۵$ (۱۰) \AA نرمال بلندتر است [۲۱]. در هر دو آنیون، چهار اتم اکسیژن به اتم فسفر متصل است و طول پیوند فسفر-اکسیژن مربوط به بخش O-فنیلی، در دو آنیون تقریباً برابر $۱,۶۰۱۶$ (۱۱) \AA و $۱,۶۰۱۷$ (۱۱) بوده و طول پیوند فسفر-اکسیژن مربوط به بخش هیدروکسیلی این ترکیب در این دو آنیون به ترتیب برای $(4)-\text{O}(4)$ $\text{P}(2)$ و $(8)-\text{O}(8)$ $\text{P}(1)$ برابر $۱,۵۵۲۱$ (۱۱) \AA و $۱,۵۴۹۲$ (۱۱) \AA است. اتم فسفر دارای پیکربندی چهاروجهی منحرف است و زاویه‌های پیرامون اتم $(1)-\text{P}$ در بازه‌ی $۱۱۴,۹۱$ (۶) تا $۱۰۴,۷۵$ (۶) در بازه‌ی $۱۰۴,۰۸$ (۶) تا $۱۱۶,۰۰$ (۶) $^{\circ}$ است.

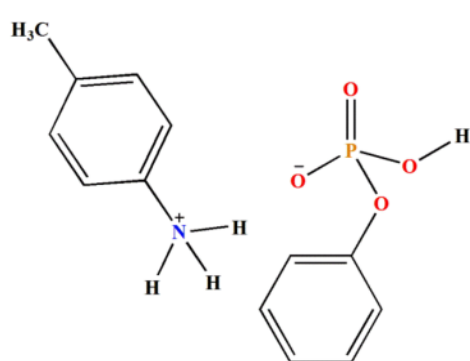
جدید [۴-متیل فنیل آمونیوم][O-فنیل] (هیدروکسیل) فسفات] سنتز و ساختار بلوری آن به روش پراش پرتو X روی تک بلور و برهم‌کنش‌های بین مولکولی آن با استفاده از آنالیز سطوح هیرشفلد و نمودار اثر انگشتی مورد بررسی قرار گرفته است.

بخش تجربی

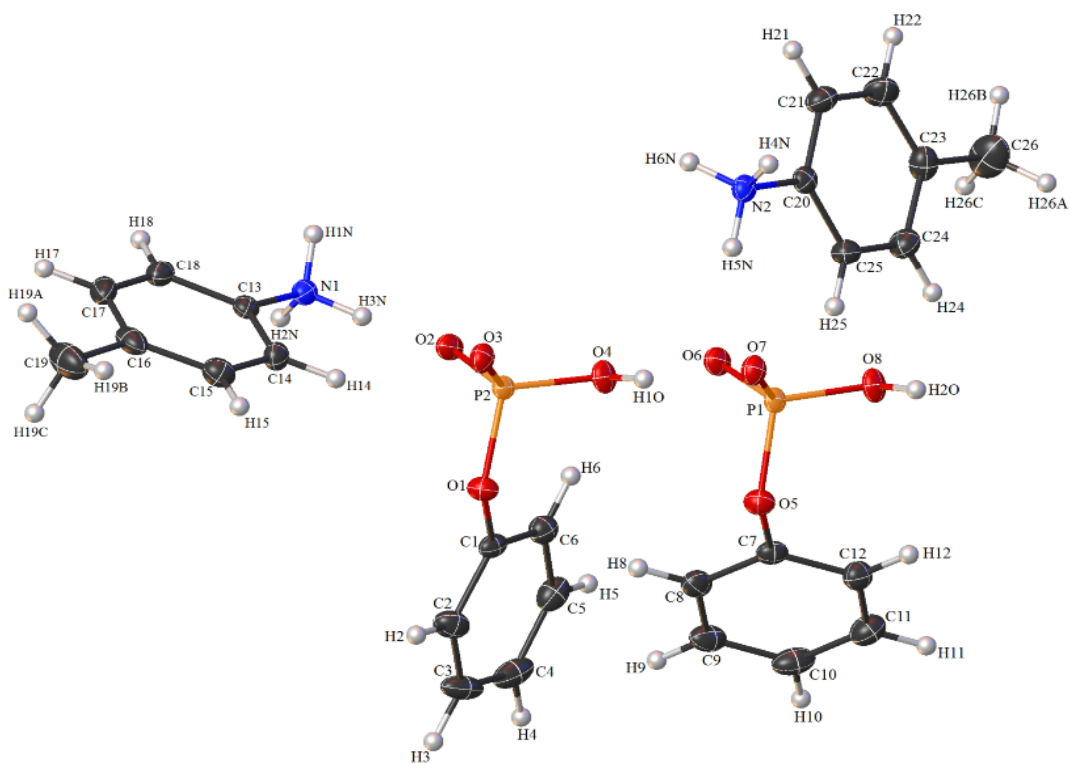
کلیه مواد مورد استفاده در این پژوهش با خلوص تجزیه‌ای بالا از شرکت‌های مرک و فلوکا خریداری شده و مورد استفاده در Xcalibur گرفتند. ساختار بلوری با پراش سنج پرتو X مدل Mo-K α (تابش Sapphire2, large Be window طول موج ۷۱۰۷۳ \AA و دمای ۱۲۰ K تعیین شد. ساختار با استفاده از برنامه‌ی SHELXTL حل و اصلاح شد.

روش تهیه [۴-متیل فنیل آمونیوم][O-فنیل] (هیدروکسیل) فسفات]

در مرحله‌ی اول از واکنش پیش ماده تجاری $\text{C}_6\text{H}_5\text{O})\text{POCl}_2$ با آمین $4-\text{CH}_3\text{-C}_6\text{H}_4\text{NH}_2$ (با نسبت مولی ۱ به ۲ در حلال کلروفرم خشک) به روش همنهشتی مقاله رجوع [۲۰] واکنشگر تک کلره (C₆H₅O)P(O)(NHC₆H₄4-CH₃)Cl سنتز شد. در مرحله‌ی بعد برای همنهشتی ترکیب اسیدی [۴-متیل فنیل آمونیوم][O-فنیل] (هیدروکسیل) فسفات)، ۰,۹۴ گرم معادل ۳/۳۳ میلی مول از این واکنشگر تک کلره در حلال استون حل شده و با ۳/۳۳ میلی مول آب یون‌زدایی شده با توجه به نسبت مولی (۱:۱) در دمای محیط وارد واکنش شد. پس از گذشت دو ساعت از زمان شروع واکنش، محلول در دمای اتاق و در جای ثابتی قرار داده شد تا عمل بلور صورت گیرد. پس از گذشت چند روز بلورهای زرد رنگی تشکیل شدند. بلورها را جدا کرده و مورد شناسایی و بررسی قراردادیم که هیدرولیز شدن بیش از



شکل ۱ ساختار شیمیایی [۴-متیل فنیل آمونیوم][O-فنیل] (هیدروکسیل) فسفات].



شکل ۲ نمایی از ساختار $[4\text{-CH}_3\text{C}_6\text{H}_4\text{NH}_3][(\text{C}_6\text{H}_5\text{O})\text{P}(\text{O})(\text{O})(\text{OH})]$ به صورت بیضوی‌های گرمایی (بیضوی‌ها با احتمال ۵۰٪ رسم شده‌اند).

جدول ۱ داده‌های بلوری ترکیب $[4\text{-CH}_3\text{C}_6\text{H}_4\text{NH}_3][(\text{C}_6\text{H}_5\text{O})\text{P}(\text{O})(\text{O})(\text{OH})]$

$\text{C}_{13}\text{H}_{16}\text{NO}_4\text{P}$	فرمول
۲۸۱٫۴۴	جرم فرمولی (گرم بر مول)
$0.55 \times 0.55 \times 0.35$	اندازه بلور (میلی متر مکعب)
تک میل	سیستم بلوری
$P_{2_1}c$	گروه فضایی
۹.۵۱۴۷(۴)	$a(\text{\AA})$
۲۲.۲۱۵۸(۱۰)	$b(\text{\AA})$
۱۳.۲۷۴۰(۶)	$c(\text{\AA})$
۱۱۱.۲۴۴(۴)	$\beta(^{\circ})$
۲۷۳۲۹(۲)	حجم یاخته واحد (\AA^3)
۸	تعداد مولکول در یاخته واحد
۱.۳۶۷	چگالی (گرم بر سانتی متر مکعب)
۱۲۰	دما (کلوین)
$-11 \leq h \leq 5, -15 \leq k \leq 27, -14 \leq l \leq 15$	مقادیر h, k, l
۰.۰۳۲۶	R_1
۰.۰۹۵	WR_2
۰.۰۲۳۶	R_{int}
۳۶۹	تعداد پارامترها
۱۱۷۸۹	تعداد بازتاب‌های کل
۳/۱۰ تا ۲۴.۹۹	گستره (θ°) جمع آوری شده
۰.۲۱	$\mu(\text{mm}^{-1})$
۰.۲۴	$\Delta\rho_{\text{max}}(\text{e\AA}^{-3})$
-۰.۴۶	$\Delta\rho_{\text{min}}(\text{e\AA}^{-3})$

جدول ۲ طول پیوندها (Å) و زوایای پیوندی (°) مهم در ترکیب [4-CH₃C₆H₄NH₃][(C₆H₅O)P(O)(O)(OH)]

طول پیوند (Å)			
O1-P2	۱,۶۰۱۶(۱۱)	O5-P1	۱,۶۰۱۷(۱۱)
O2-P2	۱,۴۹۸۸(۱۰)	O6-P1	۱,۴۹۹۹(۱۰)
O3-P2	۱,۴۸۹۵(۱۰)	O7-P1	۱,۴۹۹۰(۱۰)
O4-P2	۱,۵۵۲۱(۱۱)	O8-P1	۱,۵۴۹۲(۱۱)
زاویه پیوند (°)			
O7-P1-O6	۱۱۴,۹۱(۶)	O3-P2-O2	۱۱۶,۰۰(۶)
O7-P1-O8	۱۱۴,۰۰(۶)	O3-P2-O4	۱۱۳,۳۶(۶)
O6-P1-O8	۱۰۶,۷۰(۶)	O2-P2-O4	۱۰۶,۹۴(۶)
O7-P1-O5	۱۰۴,۷۵(۶)	O3-P2-O1	۱۰۴,۰۸(۶)
O6-P1-O5	۱۰۹,۳۹(۶)	O2-P2-O1	۱۰۸,۹۷(۶)
O8-P1-O5	۱۰۶,۷۷(۶)	O4-P2-O1	۱۰۷,۰۸(۶)

جدول ۳ داده‌های پیوند هیدروژنی ترکیب [4-CH₃C₆H₄NH₃][(C₆H₅O)P(O)(O)(OH)] (Å) و (°)

D-H···A	D-H	H···A	D···A	D-H···A
N1-H1N···O2 ⁱ	۰,۹۴۸(۱۸)	۱,۸۰۰(۱۸)	۲,۷۴۷۵(۱۸)	۱۷۸,۵(۱۵)
N1-H2N···O7 ⁱⁱ	۰,۹۱۶(۱۷)	۱,۸۶۳(۱۷)	۲,۷۶۳۶(۱۶)	۱۶۷,۰(۱۵)
N1-H3N···O3	۰,۹۴۰(۱۷)	۱,۹۰۱(۱۷)	۲,۸۳۹۱(۱۷)	۱۷۵,۵(۱۵)
N2-H4N···O3 ⁱⁱⁱ	۰,۸۹۸(۱۷)	۱,۸۶۹(۱۷)	۲,۷۵۱۶(۱۶)	۱۶۷,۲(۱۵)
N2-H5N···O6	۰,۹۵۴(۱۸)	۱,۸۵۱(۱۸)	۲,۸۰۳۱(۱۸)	۱۷۶,۳(۱۴)
N2-H6N···O7 ⁱⁱⁱ	۰,۹۲۸(۱۷)	۱,۹۳۰(۱۷)	۲,۸۵۵۶(۱۷)	۱۷۵,۳(۱۵)
N2-H6N···O6 ⁱⁱⁱ	۰,۹۲۸(۱۷)	۲,۵۹۰(۱۵)	۳,۰۵۲۵(۱۷)	۱۱۱,۳(۱۱)
O4-H1O···O6	۰,۸۶۵(۱۷)	۱,۶۵۹(۱۷)	۲,۵۱۲۳(۱۳)	۱۶۸,۳(۱۷)
O8-H2O···O2 ^{iv}	۰,۸۸۸(۱۷)	۱,۶۷۵(۱۷)	۲,۵۳۱۳(۱۴)	۱۶۰,۹(۱۷)

(i) -x, -y+1, -z+1; (ii) x-1, y, z; (iii) -x+1, -y+1, -z+1; (iv) x+1, y, z.

بررسی سطح هیرشفلد و نمودار دو بعدی اثر انگشتی

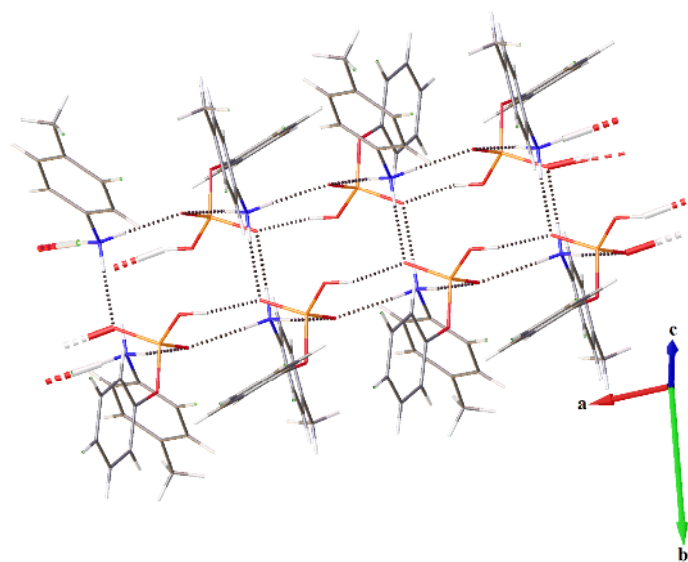
چنانکه گفته شد، سطوح هیرشفلد و نمودار اثر انگشتی از روش‌های آنالیز تصویری برهم‌کنش‌های بین مولکولی است [۱۵]. در این بخش آنالیز سطح هیرشفلد و نمودار دو بعدی اثر انگشتی برای بررسی برهم‌کنش‌های بین مولکولی در از نرم افزار Crystal Explorer نسخه ۳/۱ استفاده شد (شکل-های ۴ تا ۶).

برهم‌کنش‌های (N)H...O و (O)H...O در سطح هیرشفلد (نواحی سرخ) آئیون و برهم‌کنش‌های (N)H...O در سطح هیرشفلد (نواحی سرخ) کاتیون شناسایی شد که در شکل ۴ برای یکی از آئیون‌ها و یکی از کاتیون‌ها نشان داده شد. در نمودار اثر انگشتی دو شاخص شاخص به برهم‌کنش O...O6 = ۲,۵۱۲۳(۱۳) Å با کوتاهترین فاصله O...H(O)

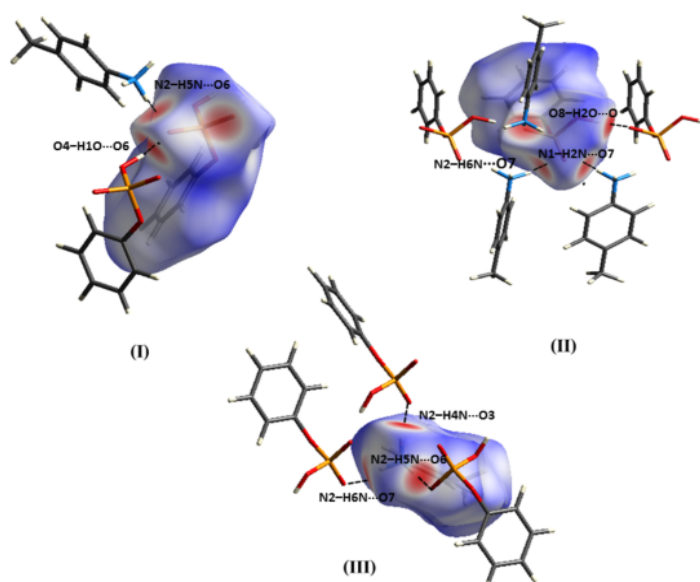
چنانکه در شکل ۳ آورده شده است، در ساختار بلوری این ترکیب، کاتیون‌ها و آئیون‌ها از طریق پیوندهای هیدروژنی، ساختار نردبانی یک بعدی را در امتداد محور a ایجاد می‌کنند. اکسیژن-های دو قطعه $\text{P}(\text{O})(\text{O})^-$ در این ساختار بلوری به عنوان پذیرنده پیوند هیدروژنی عمل می‌کنند و جالب است که یکی از این اکسیژن‌ها به عنوان پذیرنده سه پیوند هیدروژنی و باقی اکسیژن‌ها به عنوان پذیرنده دو پیوند هیدروژنی عمل می‌کند. دو پیوند هیدروژنی O...O6 و O...O4-H2O...O6 با فاصله ۰,۵۱۲۳(۱۳) Å و ۰,۵۳۱۳(۱۴) Å برابر هستند. همچنین پیوندهای O...O هیدروژنی پرقرت [۲۲] محسوب می‌شود (برای فاصله O...O هیدروژنی های این ترکیب مشاهده می‌شود، پیوند بین اکسیژن‌های قطعه N-H[P(O)(O)] با گروه‌های -N-H متیل فنیل آمونیوم است.

،C···H (٪٢٧/٤) :N2 كاتيون (٪٠/٩) C···C و H···H
 ،P1 آنيون (٪٠/٣) C···C و H···H (٪٥١/٨) ،O···H (٪٢٠/٥)
 C···C و H···H (٪٣١/٨) ،O···H (٪٤٣) C···H
 ،O···H (٪٤١/١) ،C···H (٪١٩/٤) ،P2 آنيون (٪٠/١)
 ،C···C و H···H (٪٣٨/٢) ،C···C و H···H (٪٠/٦)

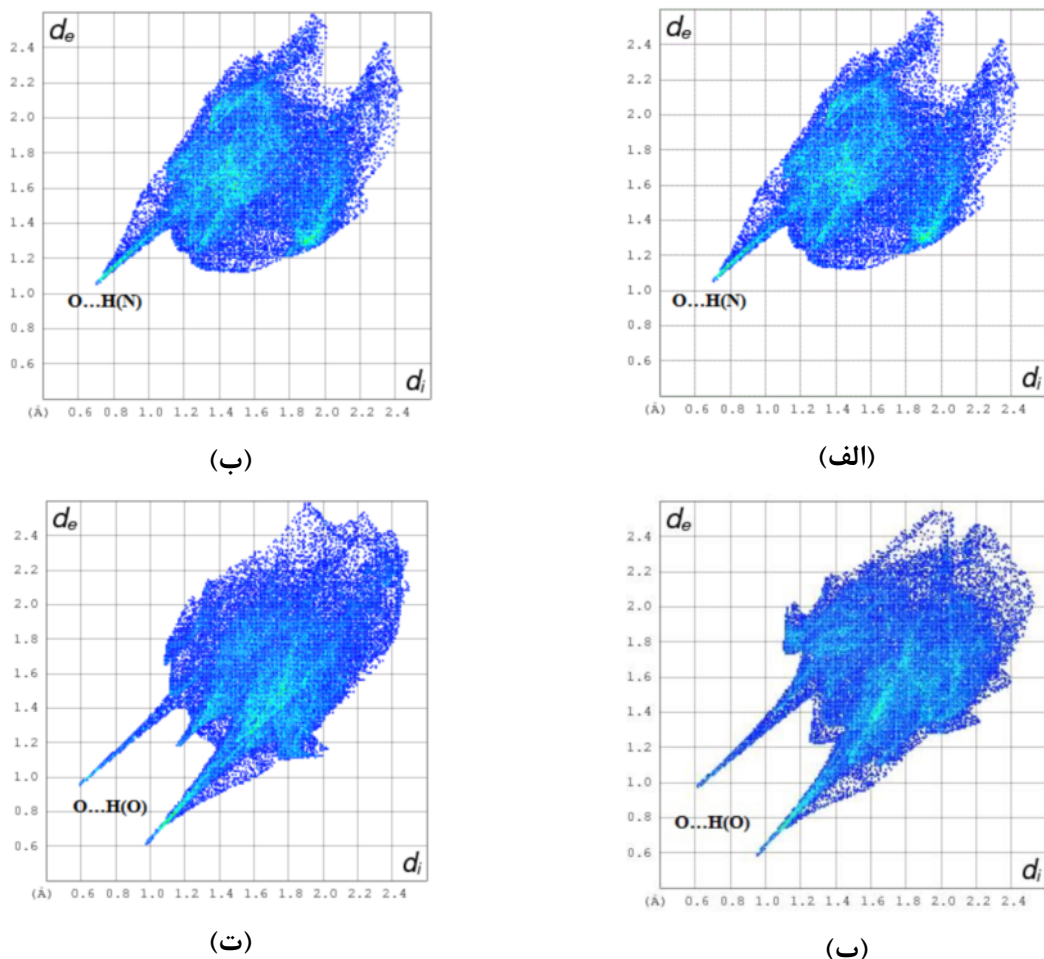
کاتیون N1: $\text{O}(\text{H}\cdot\text{C}\cdot\text{C}\cdot\text{H}\cdot\text{O})_3$ (٪ ۲۱/۴)، کاتیون آنیون Zn^{2+} (٪ ۳۰/۳)، کاتیون Na^+ (٪ ۴۷/۳) و تک شاخصها به برهم کنش $\text{O}(\text{H}\cdot\text{N}\cdot\text{H}\cdot\text{O})_2$ (٪ ۲۴/۷۵) (٪ ۱۸)، در گستره $\text{A} = ۲/۵۳۱۳$ (۱۴) Å و $\text{O}=\text{O}$ (٪ ۰۸) Å.



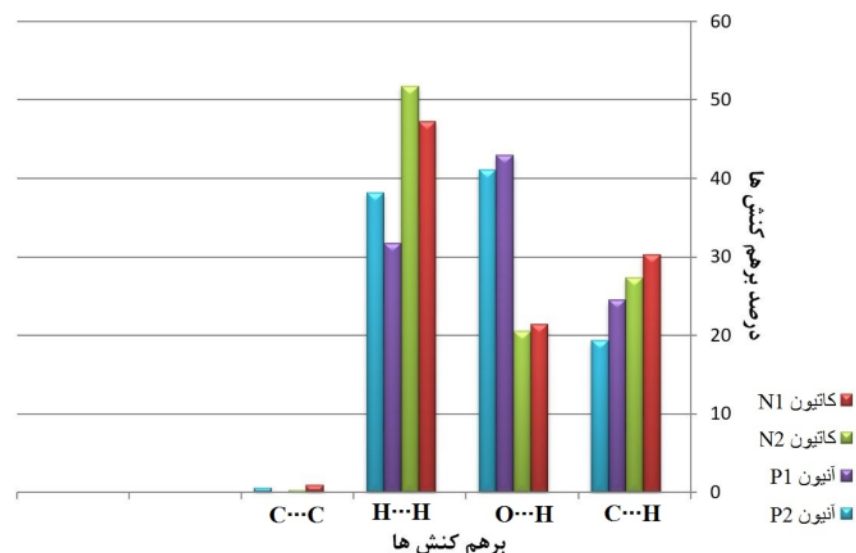
شکل ۳ شمایی از الگوی پیوند هیدروژنی در ترکیب $[4\text{-CH}_3\text{-C}_6\text{H}_4\text{NH}_3][(\text{C}_6\text{H}_5\text{O})\text{P}(\text{O})(\text{O})(\text{OH})]$



شکل ۴ سطوح هیرشفلد و برهم‌کنش‌های هیدروژنی در نمای پشت و جلو برای قطعه آئیونی $[C_6H_5O]P(O)(O)(OH)^-$ (P1) و $[C_6H_5O]P(O)(O)(OH)_2^+$ (II) و قطعه کاتیونی $[4-CH_3-C_6H_4NH_3]^+$ (III) (شکل‌ها برای آئیون شامل اتم P1 و کاتیون شامل اتم N1 ترسیم شده است و برای آئیون مستقل و کاتیون، مستقل، دیگر سطوح مشابه‌ای به دست می‌آید).



شکل ۵ نمودارهای دو بعدی اثر انگشتی در الف و ب: کاتیون‌های N1 و N2. پ و ت: آنیون‌های P1 و P2.



شکل ۶ درصد توزیع برهم کنش‌های مختلف موجود در واحد بی تقارن ترکیب $[4\text{-CH}_3\text{-C}_6\text{H}_4\text{NH}_3][(\text{C}_6\text{H}_5\text{O})\text{P}(\text{O})(\text{O})(\text{OH})]$ با توجه به سطوح هیرشفلد.

- Zeitschrift für Kristallographie-New Crystal Structures 219 (2004) 314–316.
- [8] Hunter T., "Protein kinases and phosphatases", Cell 80 (1995) 225–236.
- [9] Kumara Swamy C. K., Satish Kumar N., "New features in pentacoordinate phosphorus chemistry", Accounts of Chemical Research 39 (2006) 324–333.
- [10] Mallender W., Szegletes T., Rosenberry T., "Acetylthiocholine binds to Asp74 at the peripheral site of human acetylcholinesterase as the first step in the catalytic pathway", Biochemistry 39 (2000) 7753–7763.
- [11] Baldwin A., Huang Z., Jounaidi Y., Waxman D., "Identification of novel enzyme–prodrug combinations for use in cytochrome P450-based gene therapy for cancer", Archives of Biochemistry and Biophysics 409 (2003) 197–206.
- [12] Pang Y., Kollmeyer T., Hong F., Lee J., Hammond P., Haugabouk S., Brimijoin S., "Rational design of alkylene-linked bispyridiniumaldoximes as improved acetylcholinesterase reactivators", Chemistry & Biology 10 (2003) 491–502.
- [13] Zhou S., Lin K., Yang H., Li L., Liu W., Li J., "Stereoisomeric separation and toxicity of a new organophosphorus insecticide chloramidophos", Chemical Research in Toxicology 20 (2007) 400–405.
- [14] Nguyen C., Kim J., "Thermal stabilities and flame retardancies of nitrogen–phosphorus flame retardants based on bisphosphoramides" Polymer Degradation and Stability 93 (2008) 1037–1043.
- [15] Wolff S. K., Grimwood D. J., McKinnon J. J., Jayatilaka D., Spackman M. A., "Crystal Explorer 3.1" University of Western Australia, Perth, 2007.
- [16] Madan Kumar S., Manjunath B. C., Lingaraju G. S., Abdoh M. M. M., Sadashiva M. P., Lokanath N. K., "A Hirshfeld surface analysis and crystal structure of 2'-[1-(2-fluoro-phenyl)-1H-tetrazol-5-Yl]-4-methoxy-biphenyl-2-carbaldehyde", Crystal structure theory and applications 2 (2013) 124–131.
- [17] Pourayoubi M., Saneei A., Dušek M., Alemi Rostami S., Crochet A., Kučeraková M., "Two new organotin (IV)–phosphoryl complexes: crystal structure and Hirshfeld surface analysis", Journal

برداشت

اطلاعات کامل بلور در مرکز بلورنگاری کمپریج (CCDC) با عدد ۱۴۸۰۱۶۵ به ثبت رسیده است و از طریق آدرس (www.ccdc.cam.ac.uk/conts/retrieving.html) قابل دریافت است.

قدردانی

با نهایت سپاس و قدردانی از دانشگاه فردوسی مشهد به خاطر حمایت‌های پژوهشی از طرح شماره ۳/۴۱۹۲۷

مراجع

- [1] Ślepokura K., Lis T., "Structure of dihydroxyacetone phosphate dimethyl acetal, a stable dihydroxyacetone phosphate precursor, in the crystalline state", Carbohydrate Research 341 (2006) 507–524.
- [2] Wisser B., Janiak C., "5,5'-Diamino-2,2'-bipyridin-1,1'-diium bis(5,5'-diamino-2,2'-bipyridin-1-i um) tetrakis(rac-1,1'-binaphthalene-2,2'-diylphosphate) hexahydrate: a two-dimensional supramolecular hydrogen-bonded network", Acta Crystallographica E63 (2007) o2871–o2872.
- [3] Pourayoubi M., Sabbaghi F., "N-Benzyl-2-propanaminium O–methyltrichloroacetamidophosphate", Acta Crystallographica E63 (2007) p. o4366.
- [4] Yazdanbakhsh M., Sabbaghi F., "N-Benzylpropan-2-aminium (benzylisopropylamido)(2,2,2-trifluoroacetamido)-phosphate", Acta Crystallographica E63 (2007) p. o4318.
- [5] Gholivand K., Zare K., Afshar F., Shariatinia Z., Khavasi H. R., "4-Carbamoylpyridinium dihydrogen phosphate", Acta Crystallographica E63 (2007) p. 4027.
- [6] Gholivand K., Pourayoubi M., Shariatinia Z., Molani S., "Crystal structure of tert-butylammonium trifluoroacetyl-N-(tert-butylamino) dioxophosphate acetonitrile solvate hydrate", Zeitschrift für Kristallographie-New Crystal Structures 220 (2005) 387–389.
- [7] Gholivand K., Pourayoubi M., "Crystal structure of cyclohexyl-tert-butylammonium dichlorophosphate, ($C_{10}H_{20}NH_2PCl_2O_2$),

- Dušek M., "New *rac*- $XP(O)(OC_6H_5)(NHC_6H_4-p-CH_3)$ [$X = N(CH_3)(cyclo-C_6H_{11})$ and $NH(C_3H_5)$] and *rac*-($C_6H_5CH_2NH$) $P(O)(OC_6H_5)(NH$ -cyclo- $C_6H_{11})$ mixed-amide phosphinates", *Acta Crystallographica C*69 (2013) 1181–1185.
- [21] Corbridge D. E. C. "Phosphorus, an outline of its chemistry, biochemistry and technology", (1995) Elsevier: The Netherlands.
- [22] Steiner T., "The hydrogen bond in the solid state", *Angewandte chemie international edition*. 41 (2002) 48–76.

of the Iranian Chemical Society 12 (2015) 2093–2103.

- [18] Alamdar A. H., Pourayoubi M., Saneei A., Dušek M., Kučeraková M., Henriques M. S., "Hirshfeld surface analysis of two new phosphorothioic triamide structures", *Acta Crystallographica C*71 (2015) 824–833.
- [19] Sheldrick G. M., "A short history of SHELX", *Acta Crystallographica A*64 (2008) 112–122.
- [20] Pourayoubi M., Karimi Ahmadabad F., Eshtiagh-Hosseini H., Kučeráková M., Eigner V.,